

چکیده

زلزله‌های نزدیک گسل نسبت به زلزله‌های دور از گسل دارای خصوصیات متفاوتی می‌باشند. در سال‌های اخیر در آینین‌نامه‌های مختلف اثرات ناشی از زلزله‌های دور و نزدیک به صورت جداگانه بررسی شده است. مطالعه حاضر نتایج بررسی ۲۱۴ شتاب‌نگاشت به دست آمده از زمین‌لرزه‌های کم عمق پوسته‌ای رخ داده با فاصله کانونی کمتر از ۸۰ کیلومتر از گسل مسبب، جهت تعیین طیف طرح در ایران و مقایسه آن با طیف طرح آینین‌نامه ۲۸۰۰ را نشان می‌دهد. این شتاب‌نگاشتها از زمین‌لرزه‌های بزرگ ایران، آمریکا و اروپا جمع‌آوری و پردازش شده‌اند. پس از محاسبه طیف پاسخ، طیف طراحی از میانگین طیف پاسخ شتاب‌نگاشتها برای هر چهار نوع خاک (I، II، III، IV) ارائه شده در آینین‌نامه ۲۸۰۰ محاسبه شد. برای مقایسه نتایج این مطالعه با آینین‌نامه رکوردهایی با بزرگای بیشتر از ۵/۵ و فاصله رو مرکزی کمتر از ۸۰ کیلومتر انتخاب شد و همچنین پارامتر میرابی ۵ درصد مورد استفاده قرار گرفت. نتایج حاصل نشان می‌دهد که طیف طراحی هر دو مؤلفه خاک نوع یک تا سه در این مطالعه تا پریود ۰/۳۹ ثانیه با طیف طراحی آینین‌نامه همخوانی دارد در حالی که در پریودهای بالاتر از ۰/۳۹ ثانیه طیف طرح آینین‌نامه بالاتر از طیف طرح این مطالعه قرار می‌گیرد. از طرفی طیف طرح مؤلفه قائم خاک نوع IV بالاتر از طیف طرح آینین‌نامه قرار گرفته است که این می‌تواند به دلیل تعداد کم رکوردهای این نوع خاک باشد.

واژگان کلیدی: شتاب‌نگاشت، طیف طراحی، فاصله کانونی، زمین‌لرزه‌های نزدیک گسل.

نوع مقاله: علمی- پژوهشی

محاسبه طیف طراحی برای انواع مختلف خاک در ایران، بر اساس داده‌های نزدیک گسل و مقایسه آن با آینین‌نامه ۲۸۰۰

مریم صدقی (نویسنده مسئول)

جمعیت هلال احمر استان تهران و دانشجوی دکتری ژئوفیزیک گرایش زلزله‌شناسی، گروه ژئوفیزیک، دانشکده علوم پایه، واحد تهران شمال، دانشگاه آزاد اسلامی، تهران، ایران,
m_sedghi2002@yahoo.com

مهندی زارع

استاد، پژوهشکده زلزله‌شناسی، پژوهشگاه بین‌المللی زلزله‌شناسی و
مهندسی زلزله، تهران، ایران

آرزو درستیان

استادیار، گروه ژئوفیزیک، دانشکده علوم پایه، واحد تهران شمال،
دانشگاه آزاد اسلامی، تهران، ایران

۱- مقدمه

خساراتی شده است. بعضی از مطالعات نیز نشان می‌دهند که نوع خاک در خسارات وارد ناشی از زمین‌لرزه نقش مهمی دارد [۲-۴]. از طرفی زلزله‌های بزرگ گذشته بیشترین خسارت را در مناطق روستایی به جا گذاشته‌اند که دلایل ذکر شده را تشدید می‌کند. اگرچه بیشترین خسارت در مناطق روستایی دیده شده است، شهرهای بزرگ ایران نیز از این خسارات در امان نبوده‌اند و همواره این زمین‌لرزه‌ها بزرگ‌ترین تهدید برای این مناطق به شمار می‌رود. با توجه به اینکه بیشتر شهرهای بزرگ ایران در مجاورت گسل‌های فعال قرار گرفته‌اند، اهمیت تدوین آینین‌نامه‌های دقیق‌تر و کامل‌تر و همچنین طراحی سازه‌های مقاوم در برابر زلزله امری ضروری است [۵].

ایران بخشی از کمرنگ کوهزایی آلپ- هیمالیا است که میان دو صفحه‌ی عربستان و اوراسیا به دام افتاده است [۱] (شکل ۱). این منطقه از نظر لرزه‌خیزی یکی از مناطق فعال و لرزه‌خیز جهان به شمار می‌رود به طوری که زلزله‌های فاجعه‌باری (مثل زلزله کرمانشاه، مورموری ایلام، اهر و رزقان) در سال‌های اخیر باعث تلفات جانی و مالی فراوان شده‌اند. خسارات وارد به ساختمان‌ها و تلفات حاصل از زمین‌لرزه‌های اخیر بدترین خسارات دیده شده در سال‌های طولانی و شاید در طول تاریخ بوده است. گزارش‌های اولیه این زمین‌لرزه‌ها تأکید دارد که مواد به کار رفته در ساختمان‌ها دارای کیفیت لازم نبوده است. همچنین اشتباہات ساختاری به علت نادیده گرفتن آینین‌نامه‌ها باعث چنین

الناشی و دیسارتونو [۱۲] و الگامال و هی [۱۳] طیف‌های پاسخ الاستیک نزدیک گسل برای سطوح مختلف میرایی با استفاده از مجموعه داده‌های مختلف تقریباً تطبیق قابل توجهی میانگین حاصل از دو مطالعه مختلف تقریباً تطبیق قابل توجهی دارند. این طیف به دست آمده دارای نقطه حد اکثر $3/48$ با فرکانس‌های گوشه $50/0$ و $15/0$ ثانیه می‌باشد. قدرتی امیری و همکاران [۲] با استفاده از شتاب‌نگاشت‌های ایران طیف طرح را برای دو دسته زمین‌لرزه‌های بزرگ‌تر و کوچک‌تر از $5/5$ محاسبه کردند. آنها نشان دادند که مقادیر طیف طرح بدست آمده با استفاده از شتاب‌نگاشت‌ها بیشتر از مقادیر آئین نامه است.

از جمله طیف‌های هدف پیشنهادی آئین نامه‌ها برای انجام تحلیل‌های دینامیکی خطی سازه‌ها، طیف با خطر یکسان است که بیانگر مشخصات خطر لرزه‌ای برای ساختگاهی مشخص است. برای تعیین طیف خطر یکسان، منحنی خطر برای سیستم‌های سازه‌ای مختلف (دوره‌های تناوب متفاوت) در یک ساختگاه رسم می‌شوند و تمامی منحنی‌ها در یک سطح خطر مشخص (احتمال وقوع برابر) قطع داده می‌شوند. از هر منحنی یک معیار شدت متناظر با دوره تناوبی اش به دست خواهد آمد. در صورتی که معیارهای شدت بدست آمده در برابر دوره تناوب نظیرشان ترسیم گردد طیفی به دست خواهد آمد که به طیف با خطر یکسان معروف است.

طیف دیگری که در طراحی سازه‌ها مورد استفاده قرار می‌گیرد، طیف میانگین شرطی است که بر اساس فرایند عملیاتی مشخص از طیف خطر یکنواخت حاصل می‌شود. این طیف شرطی سازی شده بر اساس دوره تناوب طبیعی سازه می‌باشد و معیار دقیق‌تری از سطح خطر لرزه‌ای منطقه برای سازه مورد نظر می‌باشد.

در دهه ۱۹۶۰، برای اولین بار کد ایران (Iranian Code) برای بررسی و طراحی مقاومت ساختمان‌ها به عنوان یک فصل در آئین نامه ۵۱۹ منتشر شد که در سال ۱۹۸۷ اولین بازنگری از این کد با نام آئین نامه ۲۸۰۰ به چاپ رسید.



شکل (۱): منطقه زمین‌شناسی فلات ایران؛ خطوط قرمز ممتد گسل‌ها هستند.

در طراحی سازه‌های مقاوم در برابر زلزله، از طیف‌های طراحی که برای نسبت‌های میرایی متفاوت عرضه می‌شوند، استفاده می‌کنند [۶]. منحنی طیف طرح در استاندارد ۲۸۰۰ ابرار اساسی در هنگام استفاده از روش تحلیل استاتیکی معادل و روش آنالیز طیفی در آئین نامه زلزله است. به همین دلیل وجود دقت کافی در محاسبه و ارائه این ضریب در آئین نامه‌ها اهمیت زیادی در طراحی هرچه مطمئن‌تر سازه‌ها در برابر زلزله دارد.

طیف‌های طرح لرزه‌ای که معمولاً از پارامترهای شتاب‌نگارها به دست می‌آید از دو روش تحلیل خطر لرزه‌ای احتمالاتی [۷] که برای مناطق بی‌لرزه به کار می‌رود و مقیاس کردن شکل طیف لرزه‌نگارها [۸] محاسبه می‌شوند. این دو روش بر این فرض استوار هستند که طیف‌های پاسخ نرمال شده مورد استفاده برای تخمین طیف طرح مستقل از شدت زلزله هستند. اولین بار هاووزنر [۹] طیف طرح را با در نظر گرفتن مؤلفه افقی چهار زلزله بزرگ امریکا به دست آورد. پس از آن طیف‌های طراحی از سوی محققان دیگر برای استفاده در مکان‌های خاص عرضه شده است که از آن جمله می‌توان به طیف طرح نیومارک و هال [۱۰] و طیف طرح محجز [۱۱] اشاره کرد که امروزه نیز مورد توجه است.

جدول (۱): طبقه‌بندی نوع زمین در آینه‌نامه ۲۸۰۰

| V_s (متر بر ثانیه) | مواد مشکل ساختگاه | نوع زمین |
|--|--|----------|
| $V_s \geq 750$ $375 \leq V_s \leq 750$ | الف) سنگ‌های آذرین (دارای بافت درشت و ریزدانه)، سنگ‌های رسوبی سخت و بسیار مقاوم و سنگ‌های دگرگونی توده‌ای (گایاس‌ها - سنگ‌های متبلور سیلیکاته)، طبقات کنگلومراتی ب) خاک‌های سخت (شن و ماسه‌ی متراکم، رس بسیار سخت) با ضخامت کمتر از ۳۰ متر از روی بستر سنگی | I |
| | | |
| $375 \leq V_s \leq 750$ $375 \leq V_s \leq 750$ | الف) سنگ‌های آذرین سست (مانند توف)، سنگ‌های رسوبی، سنگ‌های دگرگونی متورق و به‌طور کلی سنگ‌هایی که در اثر هوازدگی (تبزیه و تخریب) سست شده‌اند ب) خاک‌های سخت (شن و ماسه‌ی متراکم، رس بسیار سخت) با ضخامت بیشتر از ۳۰ متر از روی بستر سنگی | II |
| | | |
| $175 \leq V_s \leq 750$ $175 \leq V_s \leq 750$ | الف) سنگ‌های متلاشی شده در اثر هوازدگی ب) خاک‌های با تراکم متوسط، طبقات شن و ماسه با پیوند متوسط بین دانه‌ای و رس با سختی متوسط | III |
| | | |
| $V_s \leq 175$ | الف) نهشته‌های نرم با رطوبت زیاد در اثر بالا بودن سطح آب زیرزمینی ب) هرگونه پروفیل خاک که شامل حداقل ۶ متر خاک رس با اندازه خمیری بیشتر از ۲۰ و درصد رطوبت بیشتر از ۴۰ باشد | IV |

 جدول (۲): مقادیر برای S , T_s , T_0

| لرزه‌خیزی "بالا" و "بسیار بالا" | لرزه‌خیزی "متوسط" و "کم" | T_s | T_0 | نوع خاک |
|---------------------------------|--------------------------|-------|-------|---------|
| S | S | | | |
| ۱/۵ | ۱/۵ | ۰/۴ | ۰/۱ | I |
| ۱/۵ | ۱/۵ | ۰/۵ | ۰/۱ | II |
| ۱/۷۵ | ۱/۷۵ | ۰/۷ | ۰/۱۵ | III |
| ۱/۷۵ | ۲/۲۵ | ۱ | ۰/۱۵ | IV |

تاکنون به علت کمبود اطلاعات و شتاب‌نگاشت‌های ثبت شده در ایران و همچنین مشخص نبودن شرایط زمین در محل ثبت رکورد، اقدام مؤثری در جهت تعیین طیف طراحی در ایران انجام نگرفته است. با افزایش نسبی داده‌های شتاب‌نگاری در سال‌های اخیر، این امکان فراهم گشته است که با استفاده از شتاب‌نگاشت‌ها طیف طرح شتاب را برای ایران به دست آوریم. در این مطالعه طیف طراحی شتاب افقی و قائم برای ایران با استفاده از بیش از ۲۱۴ شتاب‌نگاشت حاصله از زمین لرزه‌های پوسته‌ای کم عمق دارای فاصله کانونی کمتر از ۸۰ کیلومتر به دست آمد. بدین منظور بعد از تصحیحات اولیه شتاب‌نگاشت‌ها و بهنجار کردن آنها طیف طراحی شتاب تعیین شد در نهایت طیف‌های به دست آمده با طیف افقی آینه‌نامه ۲۸۰۰ مقایسه و مورد بحث قرار گرفت.

در آینه‌نامه ۲۸۰۰ ایران، چهار نوع خاک I, II, III, IV معرفی شده است (مرکز تحقیقات ساختمان و مسکن، ۱۳۸۴). خاک نوع I سنگ‌ها یا خاک‌های سخت با ضخامت کم روی بستر سنگی با سرعت موج برنشی بیشتر از ۷۵۰ متر بر ثانیه، خاک نوع II سنگ‌های سست یا خاک‌های سخت با ضخامت زیاد روی بستر سنگی با سرعت بین ۳۷۵ تا ۷۵۰ متر بر ثانیه، خاک نوع III سنگ‌های هوازد یا خاک‌هایی با تراکم یا سختی متوسط با سرعت ۳۷۵ تا ۱۷۵ متر بر ثانیه و خاک نوع IV خاک‌های نرم یا رس مرطوب با سرعت کمتر از ۱۷۵ متر بر ثانیه هستند (جدول ۱).

آینه‌نامه ۲۸۰۰ برای هر یک از خاک‌های فوق رابطه طیف طرح (B) را مطابق رابطه (۱) نشان داده است.

$$\begin{aligned} B &= 1 + S \left(\frac{T}{T_0} \right) & 0 \leq T \leq T_0 \\ B &= 1 + S & T_0 \leq T \leq T_s \\ B &= (1 + S) \left(\frac{T_s}{T} \right)^{\frac{2}{3}} & T \geq T_s \end{aligned} \quad (1)$$

که در آن T_0 , T_s , S به ترتیب پارامترهای تعیین شده از نوع خاک و سطح لرزه‌خیزی هستند که در جدول (۲) نشان داده شده‌اند. همچنین T دوره تناوب اصلی لرزش ساختار است.

دیجیتال SSA-2 گسترش یافتند. در جدول (۱) پیوست

مشخصات ایستگاههای مورد استفاده در این مطالعه (رکوردهای ایرانی) نشان داده شده است. به دلیل تأثیر پارامتر بزرگ‌گا در برآورد طیف طرح، در این مطالعه زلزله‌هایی که دارای بزرگ‌گای بین ۵/۵ تا ۷/۷ بودند انتخاب و پردازش شدند. عمق میانگین این زمین‌لرزه‌ها ۸/۵ کیلومتر است (شکل ۲). مطالعه سازوکار کانونی زمین‌لرزه‌ها نشان می‌دهد که بیشتر زمین‌لرزه‌ها دارای سازوکار معکوس (Reverse) هستند که در شکل (۳) پراکندگی رو مرکزی زمین‌لرزه‌های ایران و همچنین سازوکار کانونی آنها و همچنین در شکل (۴) طبقه‌بندی نوع خاک در ایستگاههای مذکور نمایش داده شده است.

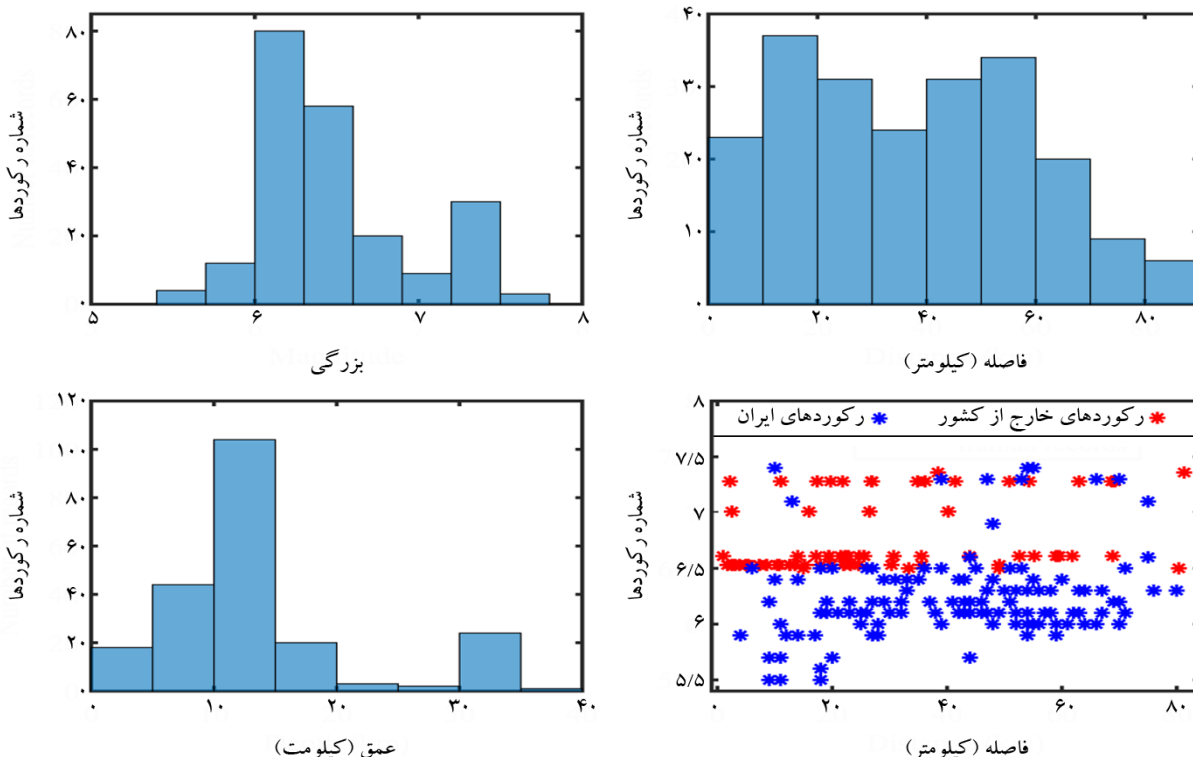
۲-۵۵۱۵ ها

شبابنگاشتهای استفاده شده برای تعیین طیف طرح در این مطالعه شامل ۲۱۴ رکورد سه مؤلفه‌ای با فاصله رو مرکزی بین ۱ تا ۸۰ کیلومتر بودند. تعداد رکوردها و زمین‌لرزه‌های مورد استفاده در این مطالعه در جدول (۳) نشان داده شده است.

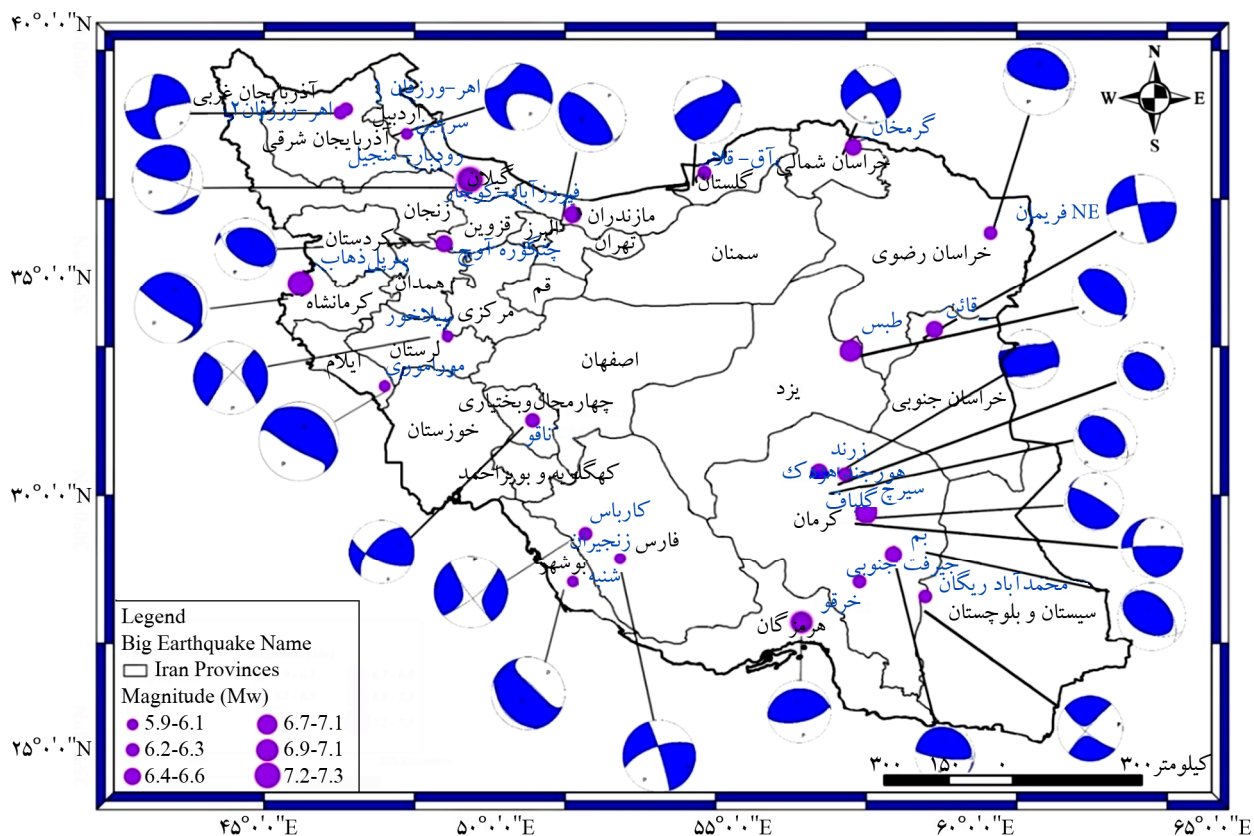
این داده‌ها از سال ۱۹۷۵ تا ۲۰۱۸ در ایستگاههای مذکور ثبت شده‌اند. داده‌های داخلی مورد استفاده شامل ۱۲۹ رکورد ثبت شده در ایستگاههای شبکه شتابنگاری مرکز تحقیقات راه، مسکن و شهرسازی (BHRC) بودند که در سراسر ایران واقع شده‌اند. ایستگاههای این شبکه از ۱۹۷۵ تا ۱۹۸۹ مجهز به سنسورهای آنالوگ-۱ SMA-1 بودند و بعد از آن به سنسورهای

جدول (۳): رکوردها و زمین‌لرزه‌های مورد استفاده در این مطالعه.

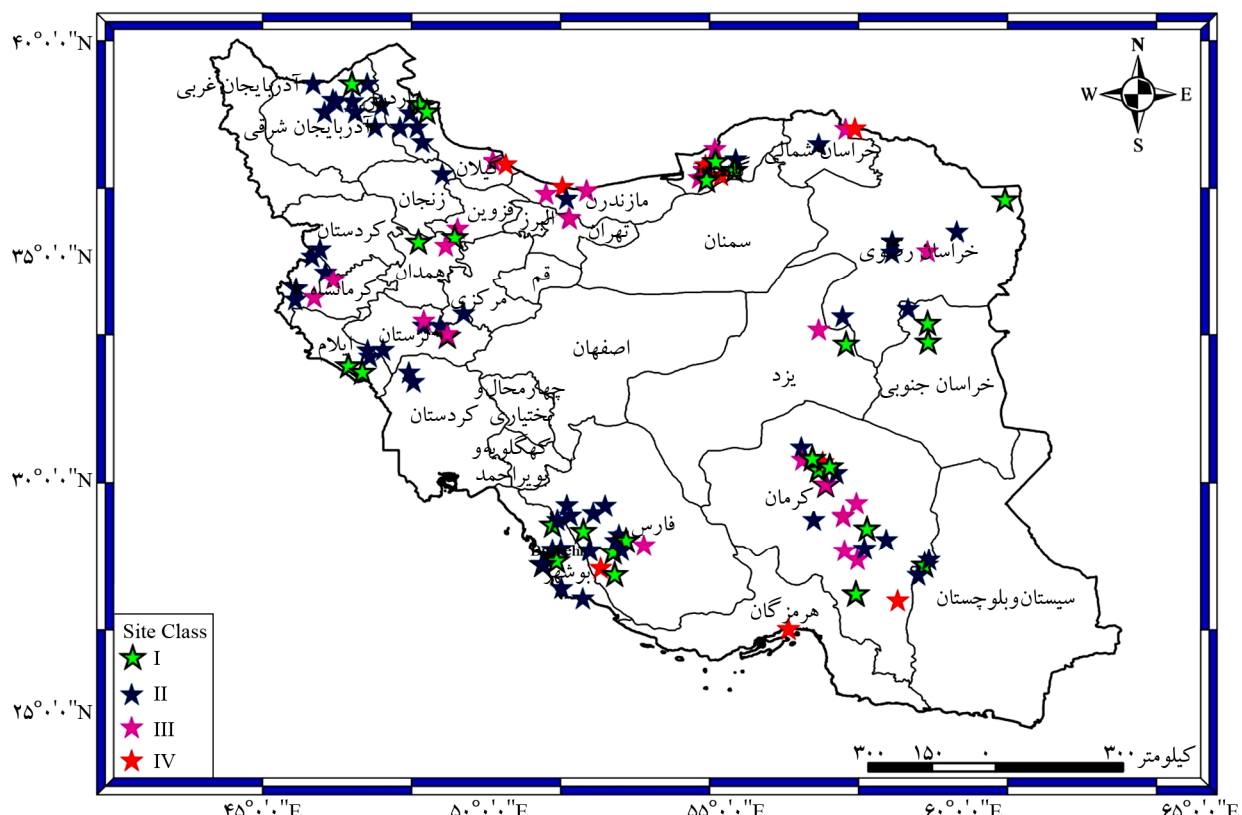
| تعداد رکوردهای زمین‌لرزه‌های خارجی استفاده شده در این مطالعه | تعداد رکوردهای زمین‌لرزه‌های ایران استفاده شده در این مطالعه | تعداد زمین‌لرزه‌های خارجی استفاده شده در این مطالعه | تعداد زمین‌لرزه‌های ایران استفاده شده در این مطالعه |
|---|--|---|---|
| ۸۵ منبع: Pacific Earthquake Engineering Research Center (PEER) | ۱۲۹ منبع: مرکز تحقیقات راه، مسکن و شهرسازی (BHRC) | ۶ | ۲۴ |



شکل (۲): نمایش تعداد داده‌های مورد استفاده در مطالعه حاضر بر اساس تابعی از بزرگ‌گا، عمق و فاصله. همچنین بزرگ‌گا در مقابل فاصله رو مرکزی نشان داده شده است.



شکل (۳): نمایش مختصات رومگزی زلزله‌های استفاده شده در این مطالعه به همراه سازوکار کانونی آنها.

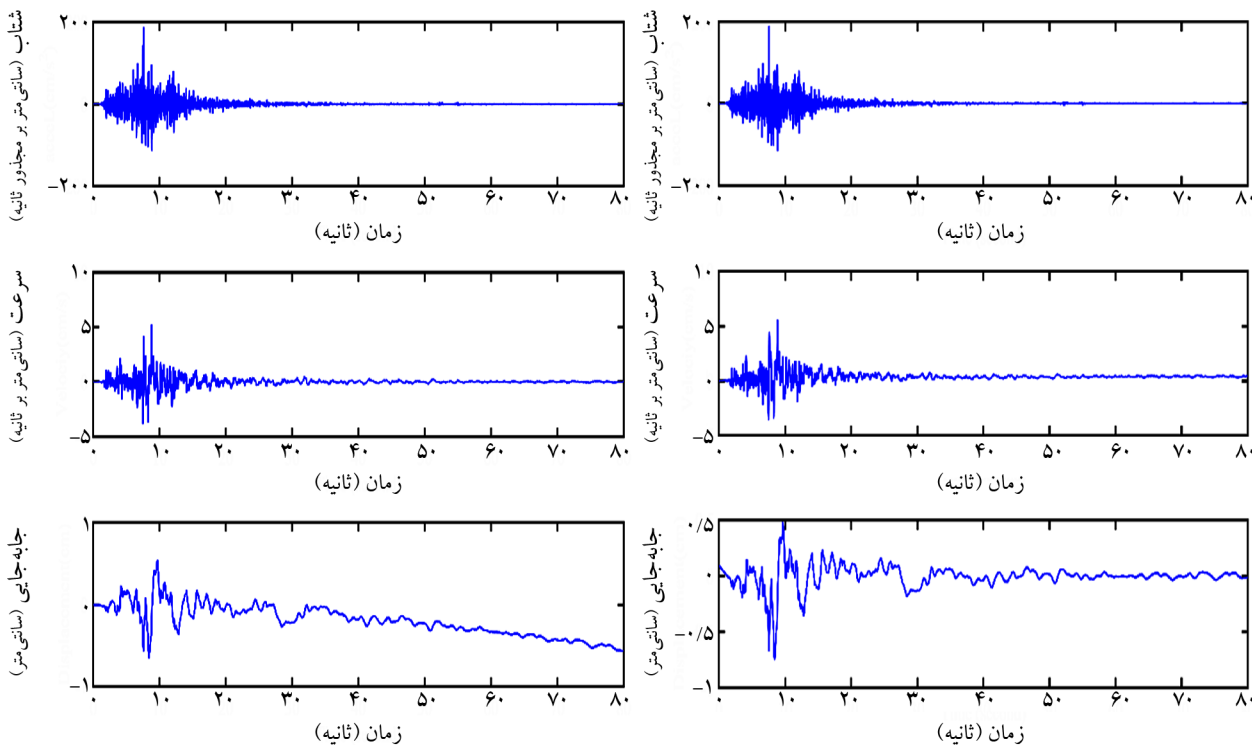


شکل (۴): نمایش طبقه‌بندی نوع خاک رکوردهای استفاده شده زمین‌لرزه‌های ایران در این مطالعه.

گوشه باید معادل با 80 درصد فرکانس نایکوییست موجود در داده‌ها گرفته شود. بسامد قطع FL برای مؤلفه‌های هر شتاب نگاشت به طور جداگانه و به کمک طیف فوریه در مقیاس لگاریتمی آن تعیین شد. یک نمونه رکورد قبل و بعد از پردازش در شکل (۵) نشان داده شده است. فرکانس‌های گوشه برای این رکورد برابر با 0.03 و $FH = 41$ بوده است.

- محاسبه طیف پاسخ خطی شتاب برای تک‌تک مؤلفه‌های افقی و قائم رکوردهای اصلاح شده با میرایی 5 درصد.
- نرمال کردن طیف‌های حاصل شده به ماکریم شتاب حرکت زمین.

پس از تصحیح خط مبنا و فیلتر کردن داده‌ها، بیشینه شتاب زمین در مورد آنها متفاوت است. چون بیشینه شتاب، بیشینه سرعت و بیشینه جابه‌جایی زمین برای داده‌های ثبت شده زمین لرزه‌های گوناگون با یکدیگر اختلاف دارند، باید از پاسخ محاسبه شده به طور مطلق میانگین گرفت به همین منظور لازم است که آنها را نرمال (هم‌پایه) کنیم. رایج‌ترین روش برای هم‌پایه کردن شتاب نگاشت‌ها استفاده از شتاب اوچ زمین است [۶]



شکل (۵): نمایش یک نمونه داده قبل (چپ) و بعد (راست) از پردازش.

۳- پردازش داده‌ها

به منظور رسم طیف پاسخ، در ابتدا باید شتاب نگاشت‌ها مورد پردازش قرار گیرند و تصحیح شوند زیرا گاهی شتاب نگاشت‌های خام با تغییر مکان و سرعت پایدار همراه هستند [۱۴]. بدین منظور اولین روش نوین پردازش در دهه 70 میلادی توسط تریفوناک و لی [۱۵] ارائه گردید. از آن زمان تا کنون روش‌های مختلفی جهت اصلاح شتاب نگاشت‌ها توسط افراد مختلف ارائه شده است [۱۴، ۱۶]. در این مطالعه، برای تصحیح داده‌ها از روش بور و همکاران [۱۴] استفاده شد. در حالت کلی پردازش داده‌ها برای تعیین طیف طرح به شرح زیر است:

- تصحیح اولیه داده‌های رقومی به وسیله روش تصحیح خط مبنای استفاده از روش بور [۱۴].
- انتخاب فرکانس تصحیح، FH متناسب با نوع دستگاه و همچنین فرکانس تصحیح، FL و انجام عملیات فیلتر در حوزه فرکانس با انتخاب تابع تبدیل فیلتر با تروث با مرتبه 4 . در این مطالعه فرکانس بالای FH مطابق با گلدرساتین و همکاران [۱۶] به دست آمد. آنها گزارش کردند که فرکانس

نماينده مقدار آ-امين طيف شتابنگاشت به ازاي پريود معين مي باشد. ملا نيز ييانگر مقدار طيف ميانگين در يك پريود معين است.

- تعين طيف طرح هموار شده

۴- نتایج

در مطالعه حاضر برای تعين طيف طراحی شتاب از ۲۱۴ شتابنگاشت استفاده شد. بدین منظور شتابنگاشتها بر اساس سرعت موج برشی طبق آين نامه ۲۸۰۰ و زارع [۱۷] به چهار دسته تقسيم شدند که اين تقسيم‌بندی در جدول (۴) نشان داده شده است. در بعضی از ايستگاهها به دليل موجود نبودن سرعت موج برشی از روش زارع [۱۸] برای تعين سرعت موج برشی زير ايستگاه استفاده شد. زارع [۱۸] در مقاله خود خاطر نشان کرد که وقتی فرکانس پايه نسبت طيفی V / H برای باندهای فرکانس بيشتر از ۱۵ هرتز بيشتر از ۳ باشد سایت مورد نظر در کلاس ۱ قرار می‌گيرد. همچنان برای کلاس ۲ اين بازه بين ۵ تا ۱۵ هرتز و برای کلاس ۳ بين ۲ تا ۵ هرتز در نهايت برای کلاس ۴ در بازه کمتر از ۲ هرتز اتفاق می‌افتد (شکل ۷). بعد از جداسازی داده‌های مورد استفاده بر اساس نوع خاک، تصحیحات اولیه روی هر رکورد انجام شد و طيف پاسخ بهنجارشده برای هر رکورد به دست آمد. چون در اين تحقیق، همه شتابنگاشتها به PGA مربوط خود مقیاس شده‌اند، طبیعاً طيف‌های پاسخ شتاب در نقطه پريود صفر ثانية از يك شروع می‌شود. طيف‌های پاسخ خطی شتاب، مربوط به مؤلفه اصلاح شده قائم و افقی زلزله‌های رکورد شده در ايستگاه‌های واقع در چهار نوع ساختگاه نرمال شده به ماکریمم شتاب خود در شکل‌های (۸) و (۹) ارائه شده است.

جدول (۴): مقادير پارامترهای محاسبه شده برای معادله ۴.

| مؤلفه افقی | | | | مؤلفه عمودی | | | | نوع خاک | |
|------------|-------|-------|-------|-------------|-------|-------|-------|---------|--|
| متغير | | | | متغير | | | | | |
| IV | III | II | I | IV | III | II | I | | |
| ۰/۰۷ | ۰/۰۵ | ۰/۰۵ | ۰/۰۴ | ۰/۰۴ | ۰/۰۳ | ۰/۰۲ | ۰/۰۳ | T1 | |
| ۰/۵۸ | ۰/۳۲ | ۰/۲۸ | ۰/۲۱ | ۰/۴۸ | ۰/۳۹ | ۰/۱۹ | ۰/۲ | T2 | |
| ۲/۶۶ | ۲/۵۱ | ۲/۵۷ | ۲/۵۸ | ۲/۹۱ | ۲/۵۵ | ۲/۵۹ | ۲/۴۷ | b | |
| -۰/۸۳ | -۰/۷۶ | -۰/۸۴ | -۰/۹۱ | ۰/۶۱ | -۰/۶۷ | -۰/۶۹ | -۰/۶۶ | c | |

كه با رابطه (۲) مشخص می‌شود.

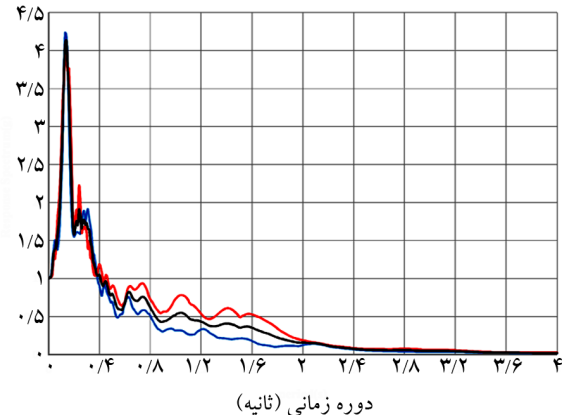
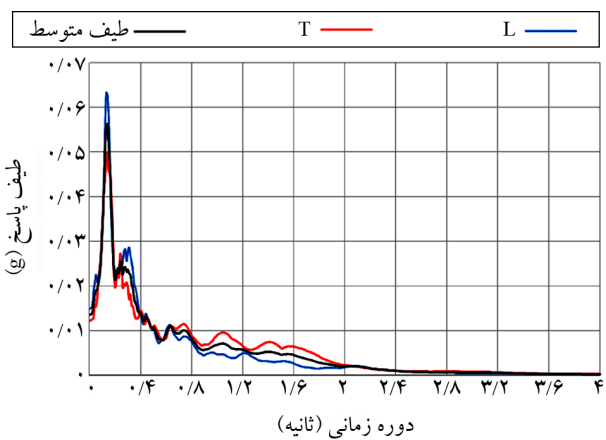
$$g_n(t) = \frac{1}{A} g(t) \quad (2)$$

كه در آن $g_n(t)$ شتاب نرمال شده زمين، A شتاب اوج زمين و $g(t)$ شتاب رکورد شده زمين می‌باشد. در شکل (۶) يك نمونه طيف پاسخ خطی شتاب، مربوط به مؤلفه‌های افقی يك زلزله ثبت شده به ازاي ميرايي ۵ درصد قبل و بعد از بهنجارسازی نشان داده شده است.

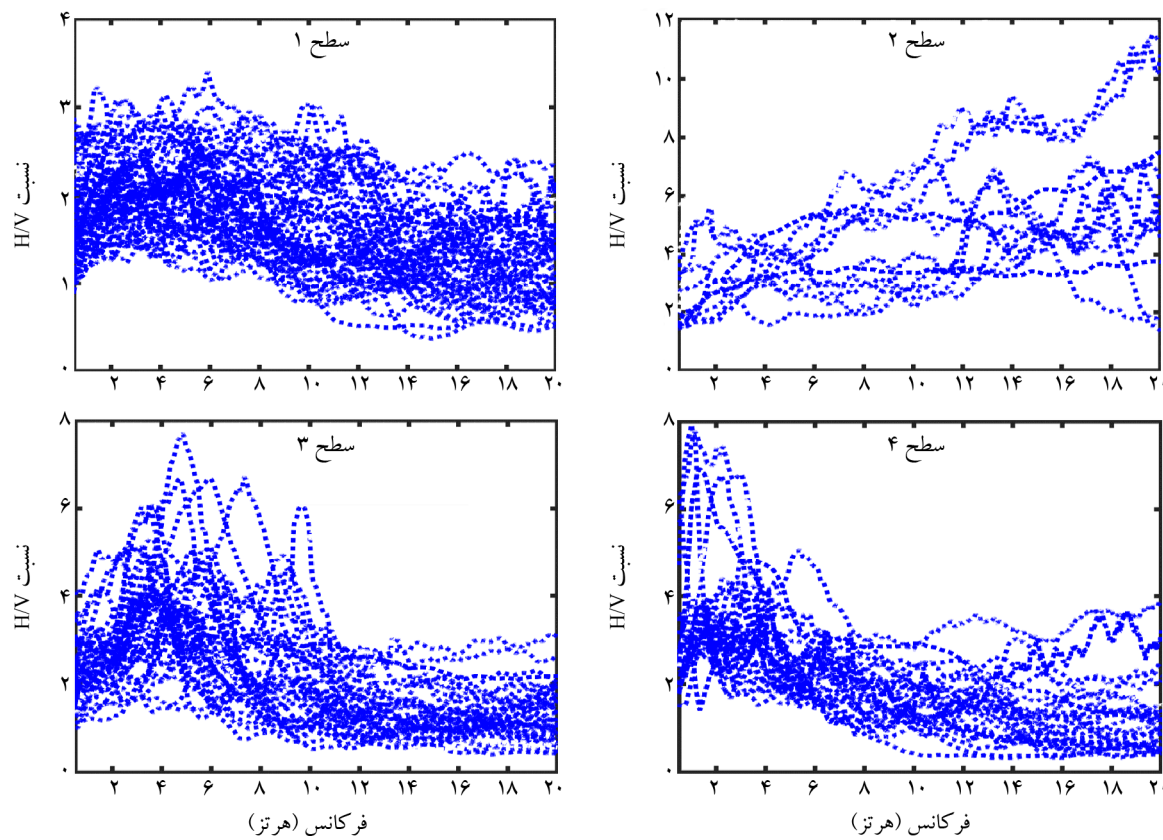
- استخراج طيف بازتاب ميانگين با تراز اطمینان ۵۰ درصد. طيف بازتاب ميانگين که معادل طيف بازتاب با تراز اطمینان ۵۰ درصد يا S50 خواهد بود و برابر با ميانگين حسابي کل طيف‌های نرمال شده می‌باشد و از رابطه (۳) به دست می‌آيد:

$$S_{50} = \frac{1}{N} \sum_{i=1}^N S_i = \mu \quad (3)$$

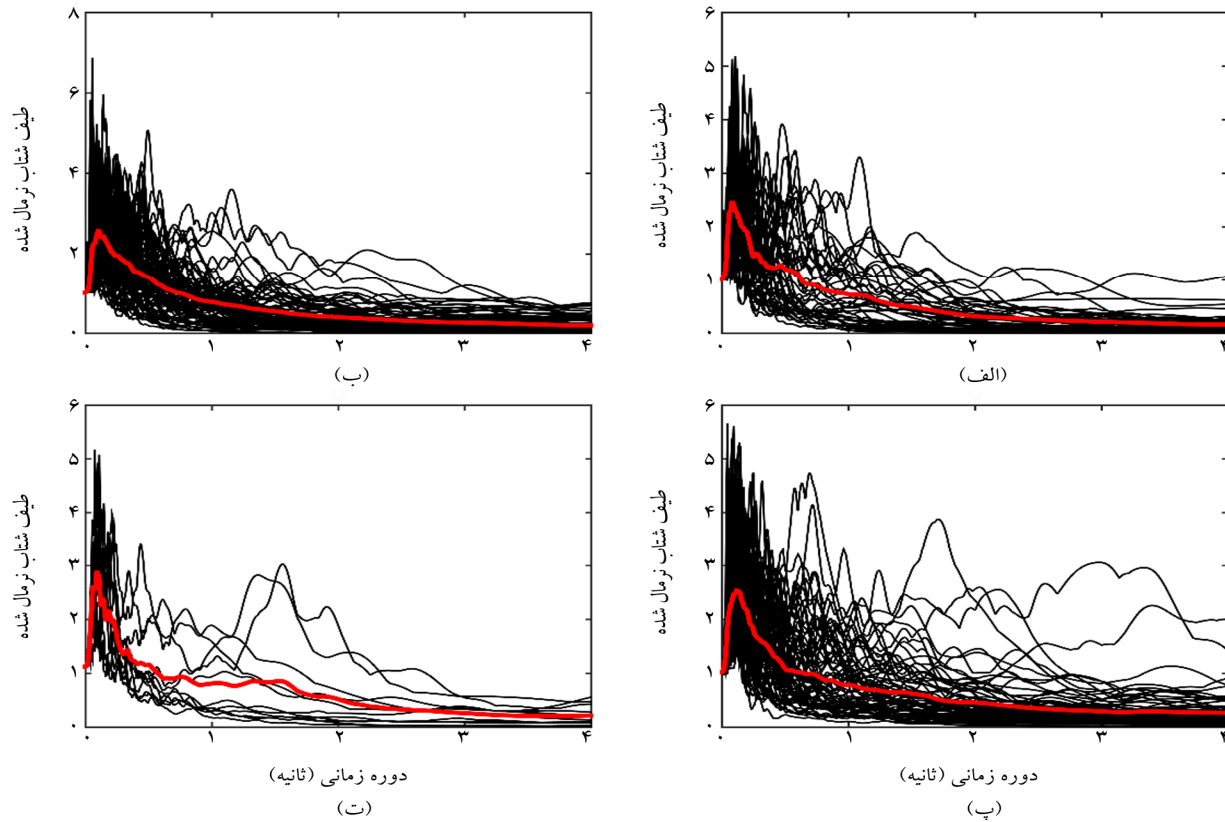
در رابطه (۳)، N تعداد طيف شتابنگاشت در مجموعه است؛



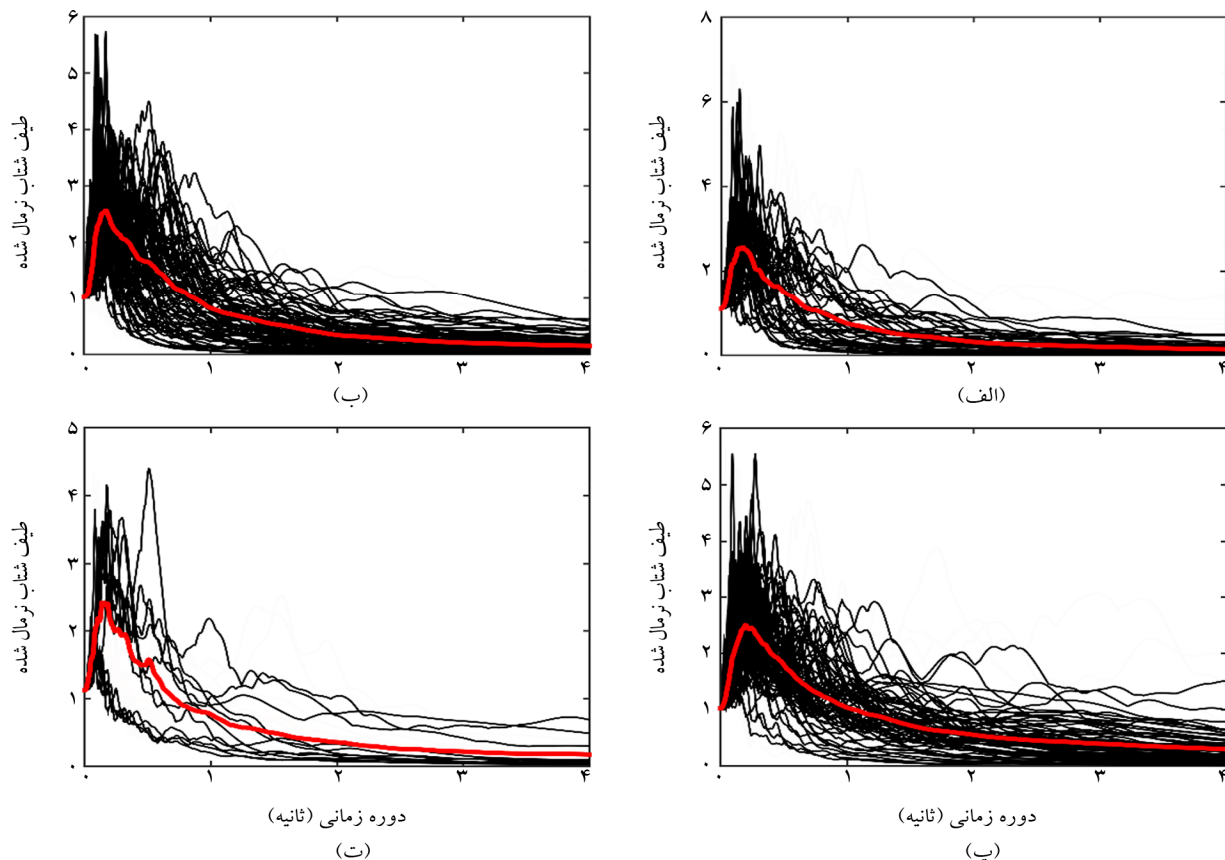
شکل (۶): طيف‌های پاسخ خطی شتاب، مربوط به مؤلفه‌های اصلاح شده L و Zلزله به ازاي ميرايي ۵ درصد (بالا) و طيف‌های پاسخ نرمال شده (پائين).



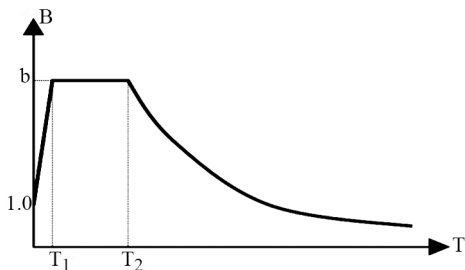
شکل (۷): نمایش طبقه‌بندی خاک تمام ایستگاه‌های مورد استفاده بر اساس تعریف زارع [۱۸].



شکل (۸): طیف‌های پاسخ خطی شتاب (رنگ مشکی)، مربوط به مؤلفه اصلاح شده قائم (الف) خاک نوع I، (ب) خاک نوع II، (پ) خاک نوع III و (ت) خاک نوع IV. خط ممتد قرمز میانگین طیف‌ها (طیف بازتاب) است.



شکل (۹): طیف‌های پاسخ خطی شتاب (رنگ مشکی)، مربوط به مؤلفه اصلاح شده افقی (الف) خاک نوع I، (ب) خاک نوع II، (پ) خاک نوع III و (ت) خاک نوع IV. خط ممتد قرمز میانگین طیف‌ها (طیف بازتاب) است.



شکل (۱۰): نمایش شکل کلی طیف بازتاب.

برای دستیابی به طیف هموار شده، در این تحقیق مراحل زیر انجام شده است:

۱. برای تعیین بیشینه مقدار طیف (b) از ماقریم مقدار طیف میانگین استفاده شد.

۲. پریود T_1 طوری تعیین می‌شود که ضریب بازتاب هر یک از طیف‌های پاسخ از مقدار طیف در محدوده $T_1 - T_0$ بیشتر نباشد.

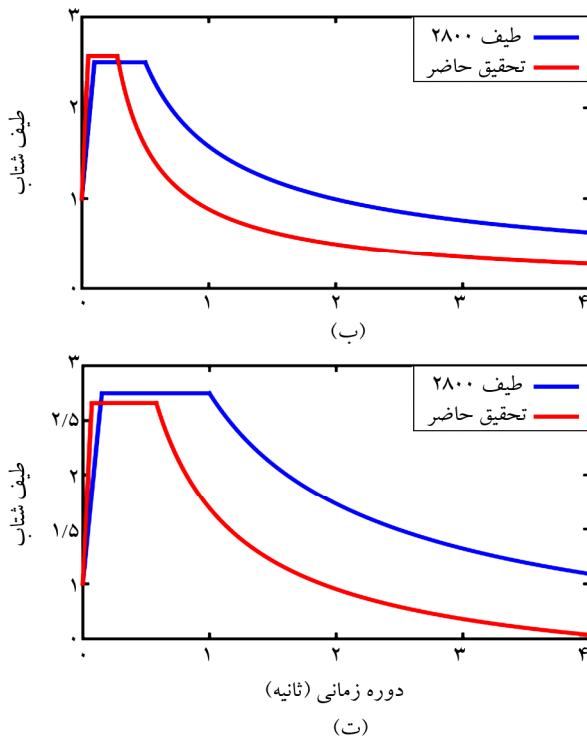
۳. پریود T_2 و c نیز به نحوی تعیین می‌شوند که طیف بازتاب

در نهایت با استفاده از میانگین حسابی کل طیف‌های نرمال شده (رابطه ۳) طیف بازتاب میانگین برای مؤلفه‌ها قائم و افقی برای هر چهار نوع خاک تعیین شد.

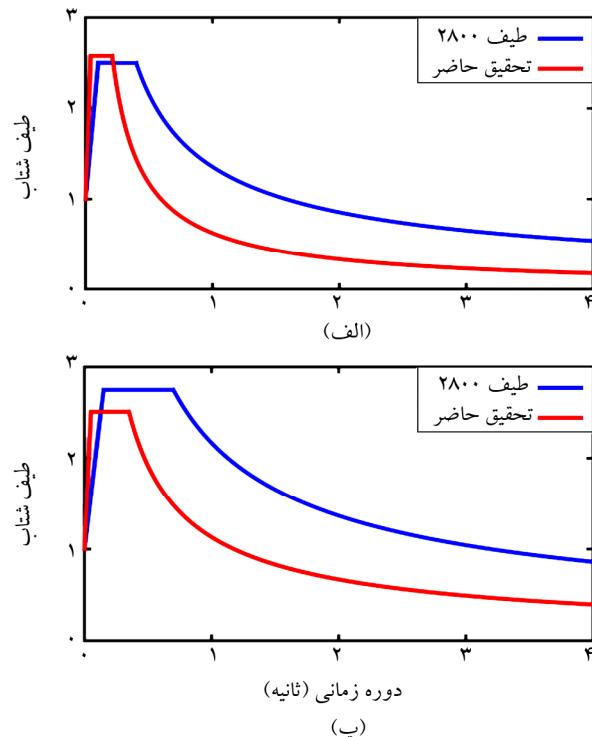
پس از محاسبه مقادیر طیف بازتاب، باید آنها را هموار کرد تا طیف نهایی شکلی صاف داشته و علاوه بر حفظ ضریب اطمینان در نقاط قعر، بتوان برای استفاده راحت‌تر از آن، رابطه‌ای ارائه داد. آنچه در آینه‌نامه‌های زلزله معمول است، ارائه طیفی سه قسمتی است که شکل کلی روابط مربوط به آن در معادله (۱) آورده شده است. برای رسم این طیف‌ها، مطابق شکل (۱۰) از رابطه (۴) استفاده می‌کنیم و با استفاده از طیف بازتاب میانگین مقادیر b, c, T₁, T₂ مشخص می‌شوند.

$$\begin{aligned} B &= 1 + (b - 1) \left(\frac{T}{T_1} \right) && T \leq T_1 \\ B &= b && T_1 \leq T \leq T_2 \\ B &= b \left(\frac{T}{T_2} \right)^c && T_2 \leq T \end{aligned} \quad (4)$$

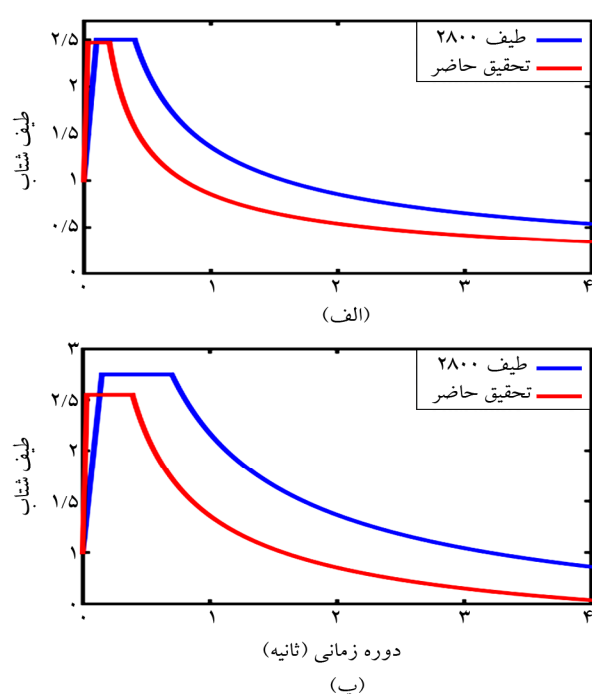
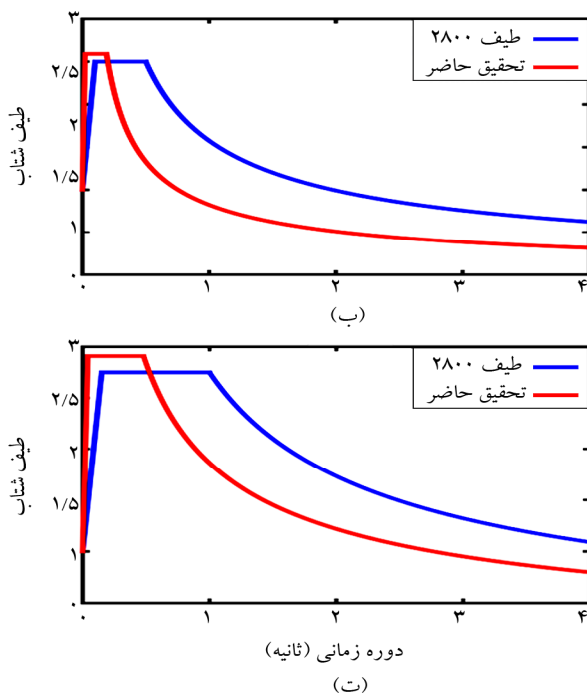
چهار به دست آمد. نتایج حاصل در شکل (۱۱) و (۱۲) نشان داده شده است. همچنین ضرایب به دست آمده در جدول (۴) اورده شده است.



هموار شده بهترین همپوشانی را با طیف میانگین داشته باشد. با توجه به مطالب گفته شده در بالا و رابطه (۴) طیف طرح هموار شده برای مؤلفه‌های افقی و قائم خاک‌های نوع یک تا



شکل (۱۱): مقایسه طیف‌های طراحی این پژوهش و آین نامه ۲۸۰۰ ایران مربوط به مؤلفه افقی (الف) خاک نوع I، (ب) خاک نوع II، (پ) خاک نوع III و (ت) خاک نوع IV.



شکل (۱۲): مقایسه طیف‌های طراحی مؤلفه افقی آین نامه ۲۸۰۰ ایران مربوط به (الف) خاک نوع I، (ب) خاک نوع II، (پ) خاک نوع III و (ت) خاک نوع IV.

طیف در پریود ۱۲/۰ و برابر با ۴۷/۲ است. در خاک نوع II مؤلفه قائم و افقی بر هم منطبق هستند و همخوانی بسیار خوبی با طیف آین نامه دارند. بیشترین مقدار طیف در این خاک برابر با III در پریود ۱۳/۰ است. مؤلفه قائم طیف خاک نوع ۲/۵۹ در پریود IV ما شاهد روندی افزایش پریود افزایش می‌یابد. در خاک نوع IV در مؤلفه افقی طیف بازتاب متفاوت از روند مؤلفه افقی هستیم. در مؤلفه افقی طیف بازتاب کمتر از طیف آین نامه است در حالی که مؤلفه قائم دارای ماکریم طیف بیشتری از آین نامه است.

در حالت کلی با میانگین گیری از طیف بازتاب مؤلفه قائم و افقی فهمیده می‌شود که در پریودهای زیر T2 طیف‌های به دست آمده در این مطالعه همخوانی خوبی با طیف آین نامه ۲۸۰۰ دارد. با افزایش پریود مقادیر به دست آمده کمتر از مقادیر آین نامه می‌شود به طوری که در پریود ۸/۰ ثانیه طیف آین نامه تقریباً دو برابر طیف بازتاب به دست آمده از این مطالعه است.

مراجع

- Berberian, F. and Berberian, M. (1981) 'Tectono-plutonic episodes in Iran'. In: *Zagros Hindu Kush Himalaya Geodynamic Evolution*, 3, 5-32.
- Ghodrati Amiri, G., Manouchehri Dana, F., and Sedighi, S. (2008) Determination of design acceleration spectra for different site conditions, magnitudes, safety levels and damping ratios in Iran. *International Journal of Civil Engineering*, 6(3), 184-197.
- Kuribayashi, E., et al. (1972) Effects of seismic and subsoil conditions on earthquake response spectra. *Proc. Int. Conf. on Microzonation*.
- Newmark, N.M., Hall, W., and Mohraz, B. (1973) *A Study of Vertical and Horizontal Earthquake Spectra*. Report WASH-1255, Directorate of Licensing, US Atomic Energy Commission, 28-48.
- Nourzadeh, D., Ebad-Sichani, M., and Takada, S. (2013) Site-specific approach for seismic design spectra in Iran, based on recent major strong ground motions. *Geotechnical and Geological Engineering*, 7(1), 69-74.

۵- بحث و نتیجه

در این تحقیق سعی شده است با جمع آوری داده‌های شتاب‌نگاری به تعیین و بررسی طیف‌های طراحی برای خاک‌های نوع اول تا چهارم (نوع I, II, III, IV) پرداخته شود. به این منظور ۲۱۴ شتاب‌نگاشت با بزرگای بیشتر از ۵/۵ مورد پردازش قرار گرفت و طیف بازتاب برای مؤلفه قائم و افقی تعیین شد.

۱-۱- طیف بازتاب مؤلفه افقی

با توجه به شکل (۷) و جدول (۴) درمی‌یابیم که مقادیر طیفی مربوط به تناوب‌های کمتر از ۲۱/۰ و ۲۸/۰ ثانیه، به ترتیب برای خاک نوع I و II تقریباً ۳ درصد بیشتر از مقادیر پیش‌بینی شده در آین نامه ۲۸۰۰ ایران است که این اختلاف قابل چشم‌پوشی است. مقادیر طیفی مؤلفه افقی در خاک نوع ۳ و ۴ در پریودهای کمتر از ۳۵/۰ و ۵۸/۰ به مقدار ناچیزی کمتر از آین نامه ۲۸۰۰ است. در این موارد می‌توان از مقادیر آین نامه ۲۸۰۰ استفاده نمود. با افزایش پریود ارتعاشی (بیشتر از T2)، اختلاف قابل توجهی بین مقادیر طیف آین نامه و مقادیر طیف میانگین برای هر چهار نوع خاک، ظاهر می‌شود. اگر پریود ۸/۰ ثانیه را که تقریباً پریود ارتعاشی بسیاری از سازه‌های ساختمانی می‌باشد را در نظر بگیریم، مقدار متاظر با آین نامه بیش از دو برابر مقدار متاظر با طیف میانگین زلزله‌های ایران می‌باشد. همان‌طور که می‌دانیم رابطه مستقیم بین نیروی جانبی زلزله با ضریب بازتاب ساختمان که از طیف بازتاب طرح به دست می‌آید، وجود دارد؛ بنابراین با در نظر گرفتن مقادیر بسیار بالا برای ضریب بازتاب، مقطع سازه‌ی طراحی شده و در نتیجه وزن مصالح سازه‌ای به طور چشمگیری افزایش می‌یابد. این موضوع منجر به تحمیل آسیب‌های اقتصادی زیادی در سطوح ملی می‌گردد.

۱-۲- طیف بازتاب مؤلفه قائم

روند طیف‌های مؤلفه قائم در خاک نوع I منطبق بر طیف آین نامه است و تفاوت زیادی با مؤلفه افقی ندارد. ماکریم

14. Boore, D.M., Stephens, C.D., and Joyner, W.B. (2002) Comments on baseline correction of digital strong-motion data: Examples from the 1999 Hector Mine, California, earthquake. *Bulletin of the Seismological Society of America*, **92**(4), 1543-1560.
15. Trifunac, M. and Lee, V. (1979) *Automatic Digitization and Processing of Strong-Motion Accelerograms. Part I. Automatic Digitization*. Report No. 79-15 I. University of Southern California, Los Angeles (USA), Dept. of Civil Engineering.
16. Goldstein, P., et al. (2003) SAC2000: Signal processing and analysis tools for seismologists and engineers. *The IASPEI International Handbook of Earthquake and Engineering Seismology*, **81**, 1613-1620.
17. Zare, M. (2004) *Strong Motion Data of the 1994-2002 Earthquakes in Iran: A Catalogue of 100 Selected Records with Higher Qualities in the Low Frequencies*.
18. Zaré, M. (2007) Spectral demand curves based on the selected strong motion records in Iran. *Journal of Seismology and Earthquake Engineering*, **9**(3), 111-123.
6. Anderson, J.C. (1989) *Dynamic Response of Buildings*. Van Nostrand Reinhold.
7. Cornell, C.A. (1968) Engineering seismic risk analysis. *Bulletin of the Seismological Society of America*, **58**(5), 1583-1606.
8. Newmark, N.M. and Hall, W.J. (1969) Seismic design criteria for nuclear reactor facilities. *Proceedings of the 4th World conference on Earthquake Engineering*.
9. Housner, G. (1970) *Design Spectrum, Chapter 5 in Earthquake Engineering*. Edited by RL Wiegel. Prentice-Hall.
10. Newmark, N. and Hall, W. (1982) *Earthquake Spectra and Design*. Earthquake Eng. Research Institute, Berkeley, CA.
11. Mohraz, B. (1976) A study of earthquake response spectra for different geological conditions. *Bulletin of the Seismological Society of America*, **66**(3), 915-935.
12. Elnashai, A.S. and Di Sarno, L. (2008) *Fundamentals of Earthquake Engineering*. Wiley New York.
13. Elgamal, A. and He, L. (2004) Vertical earthquake ground motion records: an overview. *Journal of Earthquake Engineering*, **8**(05), 663-697.

پیوست

جدول (پیوست ۱): مشخصات ایستگاه‌های مورد استفاده در این مطالعه (شتاب‌نگاشت‌های ایران).

| No | Record No. | Date | Station Name | Eq Epicenter | | Station | | Mw | Source to Site Distance (km) | Depth (km) | Vs ₃₀ (m/s) | Site Class |
|----|------------|------------|-----------------|--------------|---------|----------|----------|-----|------------------------------|------------|------------------------|------------|
| | | | | Lat. | Long. | Lat. | Long. | | | | | |
| 1 | 1044 | 1976_11_07 | Khezri | 33.82°N | 59.19°E | 34.021°N | 58.811°E | 6.4 | 42 | 13 | 704 | II |
| 2 | 1043 | 1976_11_07 | Qaen | 33.82°N | 59.19°E | 33.73°N | 59.22°E | 6.4 | 10 | 13 | 770 | I |
| 3 | 1042 | 1976_11_07 | Sedeh | 33.82°N | 59.19°E | 33.328°N | 59.236°E | 6.4 | 55 | 13 | 854 | I |
| 4 | 1050 | 1977_03_22 | Bandar-e-Abas_3 | 27.59°N | 56.42°E | 27.18°N | 56.28°E | 6.9 | 48 | 29 | - | IV |
| 5 | 1051 | 1977_03_22 | Bandar-e-Abas_4 | 27.59°N | 56.45°E | 27.181°N | 56.284°E | 6.9 | 48 | 29 | - | IV |
| 6 | 1083-1 | 1978_09_17 | Boshrooyeh | 33.37°N | 57.44°E | 33.863°N | 57.428°E | 7.4 | 55 | 34 | 474 | II |
| 7 | 1082-1 | 1978_09_17 | Deyhook | 33.37°N | 57.44°E | 33.29°N | 57.5°E | 7.4 | 10 | 34 | 780 | I |
| 8 | 1084-1 | 1978_09_17 | Tabas | 33.37°N | 57.44°E | 33.58°N | 56.92°E | 7.4 | 54 | 34 | 650 | III |
| 9 | 1168 | 1981_06_12 | Kerman | 29.9°N | 57.72°E | 30.28°N | 57.07°E | 6.6 | 75 | 31 | 202 | I |
| 10 | 1169 | 1981_06_12 | Rayen | 29.9°N | 57.72°E | 29.594°N | 57.439°E | 6.6 | 44 | 31 | - | III |
| 11 | 1176-5 | 1981_07_29 | Golbaf | 29.99°N | 57.77°E | 29.88°N | 57.72°E | 7.1 | 13 | 33 | 320 | III |
| 12 | 1174 | 1981_07_29 | Kerman | 29.99°N | 57.77°E | 30.28°N | 57.07°E | 7.1 | 75 | 33 | 202 | III |

۱۵۴ جدول (پیوست ۱)

| No | Record No. | Date | Station Name | Eq Epicenter | | Station | | Mw | Source to Site Distance (km) | Depth (km) | Vs ₃₀ (m/s) | Site Class |
|----|------------|------------|-------------------------|--------------|----------|----------|----------|-----|------------------------------|------------|------------------------|------------|
| | | | | Lat. | Long. | Lat. | Long. | | | | | |
| 13 | 1362-1 | 1990_06_21 | Ab-bar | 36.96°N | 49.41°E | 36.925°N | 48.954°E | 7.7 | 41 | 18 | 660 | II |
| 14 | 1357-1 | 1990_06_21 | Lahijan | 36.96°N | 49.41°E | 37.21°N | 50.03°E | 7.7 | 62 | 18 | 250 | III |
| 15 | 1355.V1 | 1990_06_21 | Roodsar | 36.96°N | 49.41°E | 37.13°N | 50.3°E | 7.7 | 80 | 18 | 170 | IV |
| 16 | 1498 | 1994_06_21 | Bab_Anar | 28.96°N | 52.61°E | 28.979°N | 53.218°E | 5.9 | 59 | 8 | - | III |
| 17 | 1497 | 1994_06_21 | Farrashband | 28.96°N | 52.61°E | 28.87°N | 52.07°E | 5.9 | 54 | 8 | 630 | II |
| 18 | 1493-2 | 1994_06_21 | Firouz_Abad | 28.96°N | 52.61°E | 28.842°N | 52.572°E | 5.9 | 14 | 8 | - | I |
| 19 | 1491 | 1994_06_21 | Kavar | 28.96°N | 52.61°E | 29.202°N | 52.692°E | 5.9 | 28 | 8 | - | II |
| 20 | 1502-9 | 1994_06_21 | Zanjiran | 28.96°N | 52.61°E | 29.07°N | 52.62°E | 5.9 | 12 | 8 | - | II |
| 21 | 1492-16 | 1994_06_21 | Zarrat | 28.96°N | 52.61°E | 29.094°N | 52.847°E | 5.9 | 27 | 8 | 800 | I |
| 22 | 1490-2 | 1994_06_21 | meymand | 28.96°N | 52.61°E | 28.87°N | 52.75°E | 5.9 | 17 | 8 | - | II |
| 23 | 1659-2 | 1997_02_04 | Ashkhane | 37.661°N | 57.29°E | 37.559°N | 56.919°E | 6.5 | 53 | 15 | - | II |
| 24 | 1726-2 | 1997_02_04 | Gifan | 37.661 °N | 58.291°E | 37.894°N | 57.485°E | 6.5 | 20 | 15 | - | III |
| 25 | 1728-2 | 1997_02_04 | Robat | 37.661 °N | 59.291°E | 37.9°N | 57.69°E | 6.5 | 27 | 15 | - | IV |
| 26 | 1693-1 | 1997_02_28 | Ardebil | 37.99°N | 48.15°E | 38.226°N | 48.276°E | 6 | 28 | 10 | 530 | II |
| 27 | 1687 | 1997_02_28 | Hari | 37.99°N | 48.15°E | 38.247°N | 47.119°E | 6 | 54 | 10 | 530 | II |
| 28 | 1733 | 1997_02_28 | Helabad | 37.99°N | 48.15°E | 37.92°N | 48.42°E | 6 | 25 | 10 | 387 | II |
| 29 | 1833-2 | 1997_02_28 | Kariq | 37.99°N | 48.15°E | 37.918°N | 48.062°E | 6 | 11 | 10 | 589 | II |
| 30 | 1735 | 1997_02_28 | Khalkhal | 37.99°N | 48.15°E | 37.608°N | 48.537°E | 6 | 54 | 10 | 485 | II |
| 31 | 1731 | 1997_02_28 | Meshkin_Shahr | 37.99°N | 48.15°E | 38.39°N | 47.67°E | 6 | 61 | 10 | - | II |
| 32 | 1724 | 1997_02_28 | Namin | 37.99°N | 48.15°E | 38.423°N | 48.477°E | 6 | 56 | 10 | 1236 | I |
| 33 | 1690 | 1997_02_28 | Niyaraq | 37.99°N | 48.15°E | 38.265°N | 48.627°E | 6 | 52 | 10 | 1512 | I |
| 34 | 1725 | 1997_02_28 | Sarab | 37.99°N | 48.15°E | 37.935°N | 47.541°E | 6 | 54 | 10 | 406 | II |
| 35 | 2159 | 1999_03_05 | Jiroft_Dam1 | 28.46°N | 57.62°E | 28.86°N | 57.465°E | 6.3 | 47 | 33 | - | III |
| 36 | 2105 | 1999_03_05 | Kahnooj | 28.46°N | 57.62°E | 27.94°N | 57.7°E | 6.3 | 58 | 33 | 1564 | I |
| 37 | 2168 | 1999_03_05 | Mohammad_Abad-e-Maskoon | 28.46°N | 57.62°E | 28.908°N | 57.888°E | 6.3 | 56 | 33 | 507 | II |
| 38 | 2131-2 | 1999_05_07 | Balaade | 28.46°N | 57.62°E | 29.291°N | 51.935°E | 6.1 | 23 | 30 | 1380 | I |
| 39 | 2126-3 | 1999_05_07 | Ghaemiye | 28.46°N | 57.62°E | 29.846°N | 51.59°E | 6.1 | 49 | 30 | 617 | II |
| 40 | 2123-2 | 1999_05_07 | Gooyom | 28.46°N | 57.62°E | 29.829°N | 52.4°E | 6.1 | 62 | 30 | 598 | II |
| 41 | 2121-2 | 1999_05_07 | Kazeroon | 28.46°N | 57.62°E | 29.62°N | 51.67°E | 6.1 | 26 | 30 | - | II |
| 42 | 2130-1 | 1999_05_07 | Khan_Zeynioun | 28.46°N | 57.62°E | 29.671°N | 52.147°E | 6.1 | 32 | 30 | 535 | II |
| 43 | 2748-1 | 2002_06_23 | Abgar | 35.66°N | 48.92°E | 35.756°N | 49.284°E | 6.4 | 35 | 12 | 199 | III |
| 44 | 2749-1 | 2002_06_23 | Avaj | 35.66°N | 48.92°E | 35.58°N | 49.22°E | 6.4 | 29 | 12 | 814 | I |
| 45 | 2756-1 | 2002_06_23 | Raza | 35.66°N | 48.92°E | 35.393°N | 49.033°E | 6.4 | 31 | 12 | 314 | III |
| 46 | 2781 | 2002_06_23 | Shirinsu | 35.66°N | 48.92°E | 35.487°N | 48.451°E | 6.4 | 35 | 12 | 813 | I |
| 47 | 3176-1 | 2003_12_27 | Abarag | 29.04°N | 58.33°E | 29.348°N | 57.939°E | 6.5 | 51 | 7 | 1160 | I |
| 48 | 3168-2 | 2003_12_27 | Bam1 | 29.04°N | 58.33°E | 29.09°N | 58.35°E | 6.5 | 6 | 7 | - | II |
| 49 | 3170-2 | 2003_12_27 | Jirof | 29.04°N | 58.33°E | 28.671°N | 57.736°E | 6.5 | 71 | 7 | 343 | III |
| 50 | 3162-1 | 2003_12_27 | Mohammad_Abad-e-Maskoo | 29.04°N | 58.33°E | 28.908°N | 57.888°E | 6.5 | 45 | 7 | 507 | II |
| 51 | 3326 | 2004_05_28 | Garmabdar | 36.28°N | 51.61°E | 35.987°N | 51.634°E | 6.4 | 33 | 17 | - | III |
| 52 | 3333 | 2004_05_28 | Hasan_Keyf | 36.28°N | 51.61°E | 36.5°N | 51.15°E | 6.4 | 48 | 17 | 339 | III |

۱۵۰۴ جدول (پیوست ۱)

| No | Record No. | Date | Station Name | Eq Epicenter | | Station | | Mw | Source to Site Distance (km) | Depth (km) | Vs ₃₀ (m/s) | Site Class |
|----|------------|------------|--------------------|--------------|---------|----------|----------|-----|------------------------------|------------|------------------------|------------|
| | | | | Lat. | Long. | Lat. | Long. | | | | | |
| 53 | 3369-1 | 2004_05_28 | Noor | 36.28°N | 51.61°E | 36.574°N | 52.011°E | 6.4 | 60 | 17 | 178 | III |
| 54 | 3368-1 | 2004_05_28 | Noshahr | 36.28°N | 51.61°E | 36.654°N | 51.494°E | 6.4 | 43 | 17 | 165 | IV |
| 55 | 3330-1 | 2004_05_28 | Poul | 36.28°N | 51.61°E | 36.401°N | 51.586°E | 6.4 | 14 | 17 | - | II |
| 56 | 3556-1 | 2004_10_07 | Agh_Gal | 37.17°N | 54.38°E | 37.014°N | 54.459°E | 6.2 | 19 | 34 | 341 | III |
| 57 | 3542 | 2004_10_07 | Ali_Abad | 37.17°N | 54.38°E | 36.902°N | 54.846°E | 6.2 | 51 | 34 | - | IV |
| 58 | 3546 | 2004_10_07 | Gomishan | 37.17°N | 54.38°E | 37.109°N | 54.526°E | 6.2 | 29 | 34 | - | IV |
| 59 | 3544 | 2004_10_07 | Gonbad-e-Kavoo | 37.17°N | 54.38°E | 37.242°N | 55.164°E | 6.2 | 70 | 34 | 402 | II |
| 60 | 3545 | 2004_10_07 | Gorgan | 37.17°N | 54.38°E | 36.839°N | 54.385°E | 6.2 | 37 | 34 | 291 | III |
| 61 | 3560-1 | 2004_10_07 | Incheh_Borun | 37.17°N | 54.38°E | 37.456°N | 54.724°E | 6.2 | 44 | 34 | 283 | III |
| 62 | 3561-1 | 2004_10_07 | Kowsar_Dam | 37.17°N | 54.38°E | 36.811°N | 54.546°E | 6.2 | 43 | 34 | - | I |
| 63 | 3551 | 2004_10_07 | Ramyan | 37.17°N | 54.38°E | 37.019°N | 55.139°E | 6.2 | 69 | 34 | 827 | I |
| 64 | 3562-1 | 2004_10_07 | Voshmgir_Dam | 37.17°N | 54.38°E | 37.207°N | 54.736°E | 6.2 | 32 | 34 | - | I |
| 65 | 3660-1 | 2005_02_22 | Chatrood | 30.8°N | 56.77°E | 30.605°N | 56.911°E | 6.5 | 26 | 14 | 852 | I |
| 66 | 3686 | 2005_02_22 | Dasht-e-Khak | 30.8°N | 56.77°E | 31.066°N | 56.555°E | 6.5 | 36 | 14 | - | II |
| 67 | 3688 | 2005_02_22 | Horjand | 30.8°N | 56.77°E | 30.676°N | 57.155°E | 6.5 | 39 | 14 | 999 | I |
| 68 | 3671-1 | 2005_02_22 | Zarand | 30.8°N | 56.77°E | 30.807°N | 56.569°E | 6.5 | 18 | 14 | 226 | III |
| 69 | 4018-3 | 2006_04_01 | Chaghvand | 30.8°N | 56.77°E | 33.664°N | 48.553°E | 6.2 | 41 | 7 | 616 | II |
| 70 | 4027-8 | 2006_04_01 | Chalan_Choolan | 30.8°N | 56.77°E | 33.659°N | 48.913°E | 6.2 | 9 | 7 | 428 | II |
| 71 | 4052-3 | 2006_04_01 | Darreh-Asbar | 30.8°N | 56.77°E | 33.45°N | 49.06°E | 6.2 | 27 | 7 | - | I |
| 72 | 4022-2 | 2006_04_01 | Dorood | 30.8°N | 56.77°E | 33.491°N | 49.059°E | 6.2 | 23 | 7 | - | III |
| 73 | 4035-3 | 2006_04_01 | Kooshk-e-Ab-e-Sard | 30.8°N | 56.77°E | 33.773°N | 48.569°E | 6.2 | 41 | 7 | - | III |
| 74 | 4054-1 | 2006_04_01 | Shazand | 30.8°N | 56.77°E | 33.931°N | 49.406°E | 6.2 | 46 | 7 | - | II |
| 75 | 5176-3 | 2011_01_27 | Chah_Malek | 28.15°N | 59°E | 28.554°N | 59.157°E | 6.1 | 47 | 10 | - | I |
| 76 | 5177-3 | 2011_01_27 | Deh_Reza | 28.15°N | 59°E | 28.66°N | 59.254°E | 6.1 | 63 | 10 | - | II |
| 77 | 5179-4 | 2011_01_27 | Sarzeh | 28.15°N | 59°E | 28.334°N | 59.021°E | 6.1 | 21 | 10 | - | II |
| 78 | 5180-2 | 2011_01_27 | Zeh_Kelot | 28.15°N | 59°E | 27.79°N | 58.594°E | 6.1 | 57 | 10 | - | IV |
| 79 | 5520-1 | 2012_08_11 | Ahar | 38.52°N | 46.86°E | 38.474°N | 47.059°E | 6.1 | 18 | 11 | - | II |
| 80 | 5533-1 | 2012_08_11 | Douzal | 38.52°N | 46.86°E | 38.86°N | 46.229°E | 6.1 | 67 | 11 | - | II |
| 81 | 5540-1 | 2012_08_11 | Hari | 38.52°N | 46.86°E | 38.247°N | 47.119°E | 6.1 | 38 | 11 | 530 | II |
| 82 | 5544-1 | 2012_08_11 | Hoorand | 38.52°N | 46.86°E | 38.858°N | 47.369°E | 6.1 | 58 | 11 | - | II |
| 83 | 5545-1 | 2012_08_11 | Kaleibar | 38.52°N | 46.86°E | 38.87°N | 47.039°E | 6.1 | 42 | 11 | 850 | I |
| 84 | 5558-1 | 2012_08_11 | Nahand | 38.52°N | 46.86°E | 38.248°N | 46.47°E | 6.1 | 46 | 11 | - | II |
| 85 | 5579-1 | 2012_08_11 | Varzaqa | 38.52°N | 46.86°E | 38.507°N | 46.64°E | 6.1 | 19 | 11 | 475 | II |
| 86 | 5520-1 | 2012_08_11 | Ahar | 38.52°N | 46.86°E | 38.474°N | 47.059°E | 6.1 | 18 | 11 | - | II |
| 87 | 5533-1 | 2012_08_11 | Douzal | 38.52°N | 46.86°E | 38.86°N | 46.229°E | 6.1 | 67 | 11 | - | II |
| 88 | 5540-1 | 2012_08_11 | Haris | 38.52°N | 46.86°E | 38.247°N | 47.119°E | 6.1 | 38 | 11 | 530 | II |
| 89 | 5544-1 | 2012_08_11 | Hoorand | 38.52°N | 46.86°E | 38.858°N | 47.369°E | 6.1 | 58 | 11 | - | II |
| 90 | 5545-1 | 2012_08_11 | Kaleibar | 38.52°N | 46.86°E | 38.87°N | 47.039°E | 6.1 | 42 | 11 | 850 | I |
| 91 | 5558-1 | 2012_08_11 | Nahand | 38.52°N | 46.86°E | 38.248°N | 46.47°E | 6.1 | 46 | 11 | - | II |
| 92 | 5579-1 | 2012_08_11 | Varzaqan | 38.52°N | 46.86°E | 38.507°N | 46.64°E | 6.1 | 19 | 11 | 475 | II |
| 93 | 5790 | 2013_04_10 | Ahram | 28.46°N | 51.62°E | 28.887°N | 51.287°E | 6.3 | 58 | 12 | 988 | II |

۱۵۴ جدول (پیوست ۱)

| No | Record No. | Date | Station Name | Eq Epicenter | | Station | | Mw | Source to Site Distance (km) | Depth (km) | Vs ₃₀ (m/s) | Site Class |
|-----|------------|------------|--------------------|--------------|----------|-----------|-----------|-----|------------------------------|------------|------------------------|------------|
| | | | | Lat. | Long. | Lat. | Long. | | | | | |
| 94 | 5779-1 | 2013_04_10 | Ali_Hoseini | 28.46°N | 51.62°E | 28.758°N | 51.241°E | 6.3 | 50 | 12 | - | II |
| 95 | 5781 | 2013_04_10 | Bandar-e-Dayyer | 28.46°N | 51.62°E | 27.834°N | 51.927°E | 6.3 | 76 | 12 | 508 | II |
| 96 | 5780-1 | 2013_04_10 | Bardkhoon | 28.46°N | 51.62°E | 28.059°N | 51.474°E | 6.3 | 47 | 12 | 401 | II |
| 97 | 5787 | 2013_04_10 | Dahra | 28.46°N | 51.62°E | 28.489°N | 52.305°E | 6.3 | 67 | 12 | - | IV |
| 98 | 5782 | 2013_04_10 | Farrashband | 28.46°N | 51.62°E | 28.86°N | 52.091°E | 6.3 | 64 | 12 | 630 | II |
| 99 | 5814-1 | 2013_04_10 | Faryab | 28.46°N | 51.62°E | 28.902°N | 51.462°E | 6.3 | 52 | 12 | 641 | II |
| 100 | 5815 | 2013_04_10 | Hengam | 28.46°N | 51.62°E | 28.364°N | 52.598°E | 6.3 | 80 | 12 | 892 | I |
| 101 | 5800-1 | 2013_04_10 | Khoormoj | 28.46°N | 51.62°E | 28.658°N | 51.373°E | 6.3 | 33 | 12 | 919 | I |
| 102 | 5783-1 | 2013_04_10 | Riz | 28.46°N | 51.62°E | 28.568°N | 51.083°E | 6.3 | 63 | 12 | 1027 | I |
| 103 | 5784 | 2013_04_10 | Rostam | 28.46°N | 51.62°E | 28.568°N | 51.083°E | 6.3 | 54 | 12 | 546 | II |
| 104 | 6275 | 2014_08_19 | Abdanan | 32.62°N | 47.67°E | 33°N | 47.42°E | 6 | 48 | 10.2 | 654 | II |
| 105 | 6277 | 2014_08_19 | Andimeshk | 32.62°N | 47.67°E | 32.47°N | 48.35°E | 6 | 66 | 10.2 | - | II |
| 106 | 6276 | 2014_08_19 | Bisheh-Deraz | 32.62°N | 47.67°E | 32.83°N | 46.97°E | 6 | 70 | 10.2 | 873 | I |
| 107 | 6278 | 2014_08_19 | Dareh_Shahr | 32.62°N | 47.67°E | 33.14°N | 47.38°E | 6 | 64 | 10.2 | - | II |
| 108 | 6279 | 2014_08_19 | Dehloran | 32.62°N | 47.67°E | 32.69°N | 47.26°E | 6 | 39 | 10.2 | 798 | I |
| 109 | 6311 | 2014_08_19 | Hosseiniyeh_Olya | 32.62°N | 47.67°E | 32.67°N | 48.25°E | 6 | 55 | 10.2 | 582 | II |
| 110 | 6284 | 2014_08_19 | Pol_Dokhtar | 32.62°N | 47.67°E | 33.15°N | 47.71°E | 6 | 59 | 10.2 | 486 | II |
| 111 | 6995 | 2017_04_06 | Fariman | 35.89°N | 60.37°E | 35.695°N | 59.843°E | 6.1 | 52 | 13 | 680 | II |
| 112 | 7027 | 2017_04_06 | Gonbadli | 35.89°N | 60.37°E | 36.387°N | 60.859°E | 6.1 | 71 | 13 | 1111 | I |
| 113 | 7377-1 | 2017_11_13 | Goorsefid | 34.81°N | 45.91°E | 34.218°N | 45.845°E | 7.3 | 66 | 19 | 403 | II |
| 114 | 7398 | 2017_11_13 | Javanrood | 34.81°N | 45.91°E | 34.809°N | 46.489°E | 7.3 | 53 | 19 | - | II |
| 115 | 7302-1 | 2017_11_13 | Kerend | 34.81°N | 45.91°E | 34.279°N | 46.24°E | 7.3 | 66 | 19 | 279 | III |
| 116 | 7297 | 2017_11_13 | Nosood | 34.81°N | 45.91°E | 35.161°N | 46.203°E | 7.3 | 47 | 19 | - | II |
| 117 | 7296 | 2017_11_13 | Ravansar | 34.81°N | 45.91°E | 34.652°N | 46.652°E | 7.3 | 70 | 19 | 267 | III |
| 118 | 7384-1 | 2017_11_13 | Sarpolezahab1 | 34.81°N | 45.91°E | 34.459°N | 45.868°E | 7.3 | 39 | 19 | 619 | II |
| 119 | 7290 | 2017_11_13 | Sarv_Abad | 34.81°N | 45.91°E | 35.311°N | 46.369°E | 7.3 | 70 | 19 | - | II |
| 120 | 7462 | 2017_12_02 | Chatrood | 30.75°N | 57.34°E | 30.604°N | 56.91°E | 6.1 | 44 | 9 | 852 | I |
| 121 | 7505-2 | 2017_12_02 | Hineman | 30.75°N | 57.34°E | 30.529°N | 57.289°E | 6.1 | 25 | 9 | 617 | II |
| 122 | 7441-1 | 2017_12_02 | Hojdak | 30.75°N | 57.34°E | 30.76°N | 57.005°E | 6.1 | 32 | 9 | - | IV |
| 123 | 7436-1 | 2017_12_02 | Horjand | 30.75°N | 57.34°E | 30.676°N | 57.155°E | 6.1 | 19 | 9 | 999 | I |
| 124 | 7513-1 | 2017_12_02 | Hotkan | 30.75°N | 57.34°E | 30.848°N | 56.788°E | 6.1 | 54 | 9 | 837 | I |
| 125 | 7497 | 2017_12_13 | Chatrood | 30.76°N | 57.32°E | 30.604°N | 56.91°E | 6.1 | 43 | 12 | 852 | I |
| 126 | 7505-6 | 2017_12_13 | Hineman | 30.76°N | 57.32°E | 30.529°N | 57.289°E | 6.1 | 26 | 12 | 617 | II |
| 127 | 7495 | 2017_12_13 | Hojdak | 30.76°N | 57.32°E | 30.76°N | 57.005°E | 6.1 | 30 | 12 | - | IV |
| 128 | 7503-5 | 2017_12_13 | Horjand | 30.76°N | 57.32°E | 30.676°N | 57.155°E | 6.1 | 18 | 12 | 999 | I |
| 129 | 7513-2 | 2017_12_13 | Hotkan | 30.76°N | 57.32°E | 30.848°N | 56.788°E | 6.1 | 52 | 12 | 837 | I |
| 130 | 5006 | 2010_07_30 | Torbate Heiydaryeh | 35.28 °N | 59.26°E | 35.274 °N | 59.221 °E | 5.9 | 4 | 20 | 306 | III |
| 131 | 5014 | 2010_07_31 | Laleh Zar | 29.6°N | 56.79°E | 29.523 °N | 56.811 °E | 5.7 | 9 | 14 | 678 | II |
| 132 | 5249 | 2011_06_15 | Kahnooj | 27.8 °N | 57.79°E | 27.947 °N | 57.705 °E | 5.6 | 18 | 38 | 1564 | I |
| 133 | 5611/02 | 2012_08_14 | Mehtarlo1 | 38.38 °N | 46.76 °E | 38.471 °N | 46.711 °E | 5.5 | 11 | 14 | - | II |
| 134 | 6063/01 | 2013_11_28 | Dalaki | 29.35 °N | 51.36 °E | 29.428 °N | 51.288 °E | 5.7 | 11 | 9 | 971 | I |

۱۵۴ جدول (پیوست ۱)

| No | Record No. | Date | Station Name | Eq Epicenter | | Station | | Mw | Source To Site Distance (km) | Depth (km) | Vs ₃₀ (m/s) | Site Class |
|-----|------------|------------|---------------|--------------|----------|-----------|-----------|-----|------------------------------|------------|------------------------|------------|
| | | | | Lat. | Long. | Lat. | Long. | | | | | |
| 135 | 6067/01 | 2013_11_28 | Konar Takhteh | 29.35°N | 51.36 °E | 29.530 °N | 51.394 °E | 5.7 | 20 | 9 | 450 | II |
| 136 | 6481 | 2015_05_05 | Kashmar | 35.4 °N | 58.48 °E | 35.243 °N | 58.469 °E | 5.5 | 18 | 22 | 494 | II |
| 137 | 8000 | 2018_11_25 | Sarpolezahab1 | 34.68°N | 46.27 °E | 34.459 °N | 45.868 °E | 5.7 | 44 | 10 | 619 | II |



Calculation of Design Spectrum for Different Soil Types in Iran, Based on Near Fault Data and its Comparison with Iranian Building Code (Standard 2800)

Maryam Sedghi^{1*}, Mehdi Zare² and Arezoo Dorostian³

1. Iranian Red Crescent Society, Tehran Province and Ph.D. Student in Geophysics (Seismology), Department of Geophysics, Faculty of Basic Sciences, North Tehran Branch, Islamic Azad University, Tehran, Iran,

*Corresponding Author, email: m_sedghi2002@yahoo.com

2. Professor, Seismology Research Center, International Institute of Earthquake Engineering and Seismology (IIEES), Tehran, Iran

3. Assistant Professor, Department of Geophysics, Faculty of Basic Sciences, North Tehran Branch, Islamic Azad University, Tehran, Iran

Near-fault earthquakes have different characteristics comparing to far-field recorded events, they often contain strong coherent dynamic long period pulses and permanent ground displacements. In the recent years, the effects of near-field and far-field earthquakes have been studied separately in various building codes.

Building codes have been revised and updated depending on the improvements in the representation of ground motions, soils and structures. These revisions have been more frequently seen in recent years. One of the key changes in earthquake codes has been performed on the design spectra. Design spectra are used in seismic analysis methods such as equivalent static lateral force analysis, dynamic spectral analysis and time history dynamic analysis. Various seismological and geophysical parameters affect the shape of design spectra. Ambraseys et al. (1996) and Bommer and Acevedo (2004) presented and discussed the effects of earthquake magnitude, source-to-site distance, site classification, and style-of-faulting on the strong-motion accelerograms and consequently design spectra.

The present study shows the results of 214 accelerograms, obtained from shallow crustal earthquakes with epicentral distance less than 80 km from causative fault, to determine the design spectrum in Iran. A comparison is performed with the design spectrum of Iranian building code (Standard No. 2800).

So far, due to the lack of information and registered accelerograms in Iran, as well as the unclear ground conditions at the place of record registration, no effective action has been taken to determine the design spectrum in Iran. The site conditions have been classified into different categories in earthquake codes. These categories are named ground types, soil profile types, local site classes or subsoil classes.

In Iranian Seismic Building Code, four types of soils I, II, III, IV have been determined, Site Class I: Rock, or hard Rock, or thin alluvium on bed rock with Vs30 more than 750 m/s; Site Class II, very dense soil or soft rock with high thickness on rock bed with Vs30 between 375 and 750 m/s; Site Class III stiff soil or soils with medium density or hardness with Vs30 of 175 to 375 meters per second; and Site Class IV, soft soils with a Vs30 of less than 175 meters per second. The accelerograms, obtained from major earthquakes in Iran, United States and Europe have been collected and then processed. After calculating the response spectra, the design spectra was plotted from the average response spectra values for all soil types, (I, II, III, IV) presented in the Standard No. 2800.

To compare the results of this study with spectra presented in Iranian Seismic Building Code, records obtained from event having magnitudes greater than 5.5 and recorded in the epicentral distances less than 80 km were selected and 5% damping was used for calculations. The results show that design spectrum for soil classes I, II, and III, were consistent with Standard No. 2800 for the spectral values of Periods 0.0 to 0.39 seconds, while in the periods longer than 0.39 seconds, the design spectrum of the Standard No. 2800 is more conservative than the present design spectra. Meanwhile, the spectral ordinates for design spectra of vertical component for soil class IV were representative for higher values for the present spectra, comparing to that presented in Standard No. 2800. This might be related to epistemic uncertainty imposed by still few available records for soft soil site (class IV).

Keywords: Accelerogram, Design Spectra, Epicentral Distance, Near-Fault Earthquake.